

Метод расчета концентрации релятивистских заряженных частиц

© Л.А. Бакалейников, В.И. Кузнецов, Е.Ю. Флегонтова, Д.П. Барсуков, И.К. Морозов

Физико-технический институт им. А.Ф. Иоффе РАН, Санкт-Петербург, Россия

E-mail: morozov22505@gmail.com

Поступило в Редакцию 24 апреля 2024 г.

В окончательной редакции 11 июля 2024 г.

Принято к публикации 30 октября 2024 г.

Развит Q, G -метод для изучения нестационарных процессов в бесстолкновительной плазме с релятивистскими частицами. Предложен способ расчета концентрации заряженных частиц, которые вылетают с эмиттера и движутся без столкновений в нестационарном электрическом поле произвольного вида. Получены аналитические выражения для концентрации частиц и тока при малом возмущении электрического поля. На основе полученных выражений построена теория устойчивости стационарных состояний релятивистского диода Бурсиана в отсутствие отражения электронов от потенциальных барьеров.

Ключевые слова: плазменный диод, релятивистские пучки электронов и позитронов, устойчивость решений.

DOI: 10.61011/PJTF.2024.24.59435.6385k

Плазма во многих астрофизических объектах [1], а также в лабораторных установках [2] часто содержит заряженные частицы, ускоренные до релятивистских скоростей. Одним из наиболее сложных объектов с релятивистской плазмой являются открытые около 50 лет назад пульсары, природа генерации радиочастотного излучения которых до сих пор не выяснена [3]. Как правило, в указанных объектах потоки заряженных частиц вылетают с поверхности эмиттера с известной функцией распределения по скоростям (ФРС) и движутся без столкновений в нестационарном электрическом поле. В работе [4] предложен Q, G -метод расчета концентрации нерелятивистских частиц. Он основан на использовании аналитического выражения, которое представляет собой интеграл по областям начальных скоростей на эмиттере. По сравнению со стационарным случаем [5] это выражение содержит две дополнительные функции: G и Q , которые связаны с изменением поля во времени. Для них в [4] были получены точные выражения. В настоящей работе такой метод развит для релятивистских частиц. Продемонстрировано, что с его помощью удастся исследовать устойчивость стационарных состояний диода Бурсиана с релятивистскими электронами, построенных в работе [5].

Рассматриваем диод плоской геометрии с расстоянием d и разностью потенциалов U между электродами. Считаем, что релятивистский поток электронов поступает с электрода с известной ФРС $f_0(v_0, t_0)$ и движется в нестационарном электрическом поле без столкновений.

Уравнение движения релятивистского электрона с импульсом $p = \gamma mv$ (где $\gamma = [1 - v^2/c^2]^{-1/2}$ – релятивистский фактор, c – скорость света, m – масса электрона) в электрическом поле $E(z, t)$ имеет вид

$$\frac{dp}{dt} = -eE(z, t) = e \frac{\partial}{\partial z} \varphi(z, t). \quad (1)$$

Здесь e – заряд электрона, $\varphi(z, t)$ – потенциал. Умножая (1) на скорость v и используя выражения для кинетической энергии $W_{kin} = (\gamma - 1)mc^2$ и ее производной $\frac{dW_{kin}}{dt} = v \frac{dp}{dt}$, получим закон сохранения энергии с дополнительным членом в правой части — $eG(z, t; v_0, t_0)$:

$$\begin{aligned} & (\gamma - 1)mc^2 - e\varphi - (\gamma_0 - 1)mc^2 \\ &= -e \int_{t_0}^t dt' \frac{\partial}{\partial t'} \varphi(z, t') \Big|_{z=z(t'; v_0, t_0)} \equiv eG(z, t; v_0, t_0). \quad (2) \end{aligned}$$

Здесь γ_0 – релятивистский фактор на эмиттере. Величина $eG(z, t; v_0, t_0)$ – количество энергии, которое приобретает электрон, покинувший эмиттер со скоростью v_0 в момент t_0 и прилетевший в точку z в момент времени t при движении в нестационарном поле. Уравнение (2) связывает скорость частицы в точке (t, z) с ее скоростью в момент вылета.

При вычислении концентрации частиц следуем работе [4]. Мысленно разбиваем ФРС на эмиттере на группы („пучки“) электронов, вылетающих с эмиттера со скоростями из узкого интервала $(v_0, v_0 + \Delta v_0)$ за короткий промежуток времени $(t_0, t_0 + \Delta t_0)$. Считаем, что для каждого пучка концентрация $\Delta n(z, t; v_0, t_0)$ связана с его средней скоростью $v(z, t; v_0, t_0)$ по формуле, аналогичной формуле (5) из работы [4]:

$$\begin{aligned} \Delta n(z, t; v_0, t_0) &= \frac{f_0(v_0, t_0) v_0 \Delta v_0}{|D(z, t; v_0, t_0)|}, \\ D(z, t; v_0, t_0) &= -\frac{\partial}{\partial t_0} z(t, v_0, t_0). \quad (3) \end{aligned}$$

Эту связь можно получить при использовании закона сохранения энергии для частицы и уравнения неразрывности для пучка.

Для отыскания траектории электрона, вылетевшего с эмиттера со скоростью v_0 в момент t_0 , проинтегрируем уравнение движения (1) один раз. Это дает

$$p(t; v_0, t_0) = m\gamma_0 v_0 - e \int_{t_0}^t dt' E[z(t'; v_0, t_0), t'] \equiv F(t; v_0, t_0). \quad (4)$$

Отсюда находим скорость v

$$v(t; v_0, t_0) = \frac{d}{dt} z(t; v_0, t_0) = \frac{F(t; v_0, t_0)}{[m^2 + F^2(t; v_0, t_0)/c^2]^{1/2}}. \quad (5)$$

Решая дифференциальное уравнение (5), находим траекторию $z(t; v_0, t_0)$:

$$z(t; v_0, t_0) = \int_{t_0}^t dt' \frac{F(t'; v_0, t_0)}{[m^2 + F^2(t'; v_0, t_0)/c^2]^{1/2}} = \int_0^{t-t_0} dt' \frac{F(t' + t_0; v_0, t_0)}{[m^2 + F^2(t' + t_0; v_0, t_0)/c^2]^{1/2}}. \quad (6)$$

Для функций $D(z, t; v_0, t_0)$ и $Q(z, t; v_0, t_0)$ получаем

$$D(z, t; v_0, t_0) = v(t; v_0, t_0) + e m^2 \times \int_0^{t-t_0} dt' \frac{\int_0^{t'-t_0} dt'' \frac{d}{dt''} E[z(t'' + t_0; v_0, t_0), t'' + t_0]}{[m^2 + F^2(t' + t_0; v_0, t_0)/c^2]^{3/2}},$$

$$Q(z, t; v_0, t_0) = v - D = -e m^2 \times \int_0^{t-t_0} dt' \frac{\int_0^{t'-t_0} dt'' \frac{d}{dt''} E[z(t'' + t_0; v_0, t_0), t'' + t_0]}{[m^2 + F^2(t' + t_0; v_0, t_0)/c^2]^{3/2}}. \quad (7)$$

Для расчета концентрации суммируем вклады от всех пучков, которые могут попасть в точку z в момент времени t :

$$n(z, t) = \sum_{i=0,1} \int_{\Omega_i(z,t)} \frac{f_0(v_0) v_0 dv_0}{|v(z, t; v_0, t_0) - Q(z, t; v_0, t_0)|},$$

$$v(z, t; v_0, t_0)$$

$$= c \frac{\left(\{\gamma_0 + e/(mc^2)[\varphi(z, t) + G(z, t; v_0, t_0)]\}^2 - 1 \right)^{1/2}}{\gamma_0 + e/(mc^2)[\varphi(z, t) + G(z, t; v_0, t_0)]}. \quad (8)$$

Здесь $i = 0$ и 1 соответствуют частицам, прилетающим в точку z с положительными и отрицательными скоростями. Связь между скоростью v_0 и временем вылета t_0 частиц с границы можно найти, получив решение уравнения движения (6). Кроме того, при заданных значениях z и t области $\Omega_i(z, t)$ определяются из вида кривой $v_0 = v_0(t_0; z, z)$.

Рассмотрим движение частиц без отражений от потенциальных барьеров в слабо возмущенном поле, т.е. будем считать, что

$$\varphi(z, t) = \varphi_0(z) + \tilde{\varphi}(z) \exp(-i\omega t), \quad |\tilde{\varphi}(z)| \ll |\varphi_0(z)|. \quad (9)$$

Как и в нерелятивистском случае, считаем, что $G(z, t) = \tilde{G}(z) \exp(-i\omega t)$, $Q(z, t) = \tilde{Q}(z) \exp(-i\omega t)$. Найдем $\tilde{Q}(z)$. Прежде всего, используя (9), найдем производную от поля E по t_0

$$\frac{d}{dt_0} E[z(t + t_0; v_0, t_0), t + t_0] = \left[i\omega \frac{d\tilde{\varphi}(z)}{dz} - \varphi_0'' \tilde{Q}(z) \right] \exp[-i\omega(t + t_0)]. \quad (10)$$

Подстановка этого выражения в (7) приводит к интегральному уравнению для $\tilde{Q}(z)$. Заменяя переменную интегрирования t в подынтегральном выражении переменной z ($dt = dz/v(z)$) и переходя от $\tilde{Q}(z)$ к новой функции $W(z) = \tilde{Q}(z) \exp[-i\omega\sigma(z)]$, получим

$$W(z) = \int_0^z \frac{dx}{v(x)\gamma^3(x)} \int_0^x \frac{dy}{v(y)} \times \left\{ (vv'\gamma^3)'W(y) - i\omega \frac{e}{m} \frac{d\tilde{\varphi}(y)}{dy} \exp[-i\omega\sigma(y)] \right\}. \quad (11)$$

Здесь $\sigma(z) = \int_0^z \frac{dx}{v(x)}$ – время пролета до точки z . Это интегральное уравнение Вольтерры может быть решено методом, предложенным в [4]. В результате находим $W(z)$ и $\tilde{Q}(z)$

$$\tilde{Q}(z) = -i\omega \frac{e}{m} v(z) \exp[i\omega\sigma(z)] \times \int_0^z \frac{dx}{v^3(x)\gamma^3(x)} \int_0^x dy \tilde{\varphi}'(y) \exp[-i\omega\sigma(y)]. \quad (12)$$

Интересно отметить, что выражение (12) для $\tilde{Q}(z)$ отличается от нерелятивистского случая только наличием множителя γ^3 в знаменателе внешнего интеграла.

Формула для $\tilde{G}(z)$ имеет такой же вид, как и в нерелятивистском случае [4]:

$$\tilde{G}(z; v_0, t_0) = -\tilde{\varphi}(z) + \int_0^z dx \tilde{\varphi}'(x) \exp\{i\omega[\sigma(z) - \sigma(x)]\}. \quad (13)$$

Разработанный метод позволяет исследовать устойчивость стационарных распределений потенциала в диоде Бурсиана, найденных в [5]. При этом удобно перейти к безразмерным величинам, используя энергию электронов, входящих с левой границы, и длину Дебая на

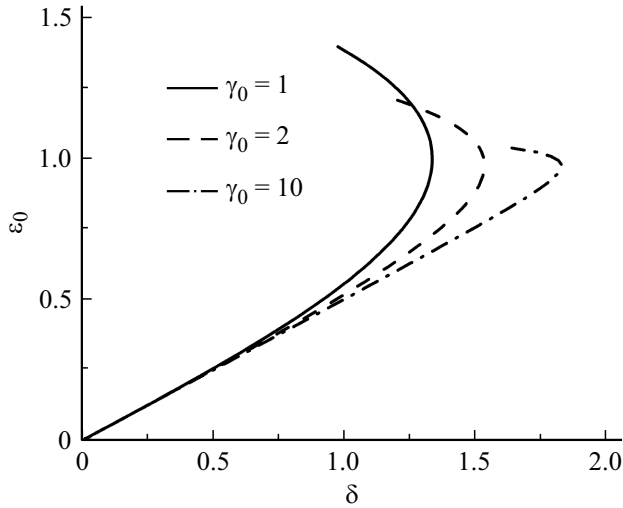


Рис. 1. Ветви стационарных решений для диода Бурсиана при различных значениях релятивистского фактора γ_0 . Разность потенциалов между электродами $V = 0$.

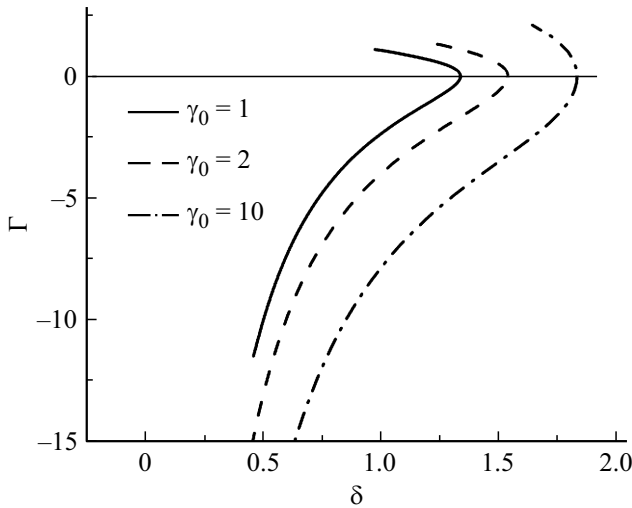


Рис. 2. Зависимости инкремента Γ от величины δ для стационарных решений в диоде Бурсиана, соответствующих ветвям на рис. 1.

левой границе в качестве единиц энергии и длины [5]: $W_0 = (\gamma_0 - 1)m_0c^2$, $\lambda_D = [(2\varepsilon_0 W_0)/(e^2 n_0)]^{1/2}$. В качестве единицы скорости используем $v_0 = c\sqrt{\gamma_0^2 - 1}/\gamma_0$. Для безразмерных координаты, потенциала, напряженности электрического поля, скорости и времени имеем $\xi = z/\lambda_D$, $\eta = e\phi/(2W_0)$, $\varepsilon = eE\lambda_D/(2W_0)$, $u = v/v_0$, $\tau = t/(\lambda_D/v_0)$. Безразмерная длина зазора и разность потенциалов между электродами определяются формулами $\delta = d/\lambda_D$, $V = eU/(2W_0)$. Стационарные решения удобно изображать точками на плоскости $\{\varepsilon_0, \delta\}$, где ε_0 – безразмерная напряженность электрического поля на эмиттере. Для фиксированного V эти точки ложатся на непрерывные кривые – ветви стационарных решений. Для режима без отражения электронов, который

рассматривается в настоящей работе, такие ветви, соответствующие $V = 0$, показаны на рис. 1 для ряда значений γ_0 . Нижние части ветвей в литературе принято называть ветвями normal, а верхние – ветвями overlap. Отметим, что ветви overlap обрываются слева в точках, где начинаются решения с отражением электронов от виртуального катода.

Для изучения устойчивости стационарных решений подставим концентрацию электронов (8) в уравнение Пуассона, в котором распределение потенциала имеет вид (9), и проведем линеаризацию по амплитуде малого возмущения $\tilde{\varphi}$. В результате получим интегродифференциальное уравнение для $\tilde{\varphi}$, содержащее \tilde{G} и \tilde{Q} . Используем для этих функций выражения (12) и (13). Полученное уравнение можно один раз проинтегрировать по z . Это дает интегральное уравнение для $\tilde{\varphi}'(z)$. В том случае, когда ФРС электронов на эмиттере является δ -функцией, уравнение для амплитуды в безразмерных переменных принимает вид

$$\tilde{\eta}'(\xi) + \frac{2\gamma_0^2}{\gamma_0 + 1} \int_0^\xi \frac{dx}{u^3(x)\gamma^3(x)} \int_0^x dy \tilde{\eta}'(y) \times \exp\{i\Omega[q(\xi) - q(y)]\} = -\frac{i}{\Omega} \tilde{J}. \quad (14)$$

Здесь $q = \int_0^\xi \frac{dx}{u(x)}$ – безразмерное время пролета электрона от эмиттера до точки ξ ; $\Omega = \omega/(\lambda_D/v_0)$ – безразмерная частота, а \tilde{J} – безразмерная амплитуда возмущения полного тока. Производная берется по координате ξ .

Чтобы решить уравнение (14), необходимо рассчитать характеристики стационарных решений: u и γ . Используя выражение для импульса релятивистского электрона, уравнение (1) и уравнение Пуассона, для этих величин получаем

$$u(q)\gamma(q) = \frac{\gamma_0^2}{\gamma_0 + 1} q^2 - \frac{2\gamma_0^2}{\gamma_0 + 1} q + \gamma_0 = f(q),$$

$$u(q) = \frac{f(q)}{\{1 + [(\gamma_0^2 - 1)/\gamma_0^2]f^2(q)\}^{1/2}},$$

$$\xi(q) = \int_0^q \frac{dt f(t)}{\{1 + [(\gamma_0^2 - 1)/\gamma_0^2]f^2(t)\}^{1/2}}. \quad (15)$$

Используя закон сохранения энергии (2), получаем зависимость потенциала η от q

$$\eta(q) = -\frac{1}{2} + \frac{(\gamma_0 + 1)f^2(q)}{2\gamma_0^2 \{ [(\gamma_0^2 - 1)/\gamma_0^2]f^2(q) + 1 \}^{1/2} + 1}. \quad (16)$$

Из формул (15) и (16) видно, что в релятивистском диоде стационарные решения определяются тремя внешними параметрами: δ , V и релятивистским фактором γ_0 .

Для исследования устойчивости полученных распределений потенциала будем решать уравнение (14) численно. Прежде всего поделим его на $\tilde{\eta}'(0) = -\frac{i}{\Omega}\tilde{J}$ и введем $\Psi(\xi; \Omega) = \tilde{\eta}'(\xi)/\tilde{\eta}'(0) \exp(-i\Omega\tau(\xi))$. Меняя порядок интегрирования в двойном интеграле в (14) и умножая все уравнение на $\exp(-i\Omega\tau(\xi))$, получим

$$\Psi(\xi; \Omega) + \frac{2\gamma_0^2}{\gamma_0 + 1} \int_0^\xi K(\xi, y)\Psi(y; \Omega)dy = \exp(-i\Omega\tau(\xi)),$$

$$K(\xi, y) = \int_y^\xi \frac{dx}{(u(x)\gamma(x))^3}. \quad (17)$$

Разобьем весь интервал $[0, \delta]$ на N интервалов длины h с границами ξ_i , $i = 0, 1, \dots, N$ так, что $0 = \xi_0 < \xi_1 < \dots < \xi_N = \delta$, и заменим интегралы суммами. Получим систему линейных уравнений для определения значения неизвестной функции $\Psi(\xi_i; \Omega)$ в узлах ξ_i .

Соотношение, определяющее связь между Ω и δ (дисперсионное уравнение), в дискретной форме имеет вид

$$\sum_{j=1}^{N-1} \Psi(\xi_j; \Omega) \exp(i\Omega\tau(\xi_j)) + \frac{1}{2} [\Psi(\xi_N; \Omega) \exp(i\Omega\tau(\xi_N)) + 1] = 0.$$

Из этого соотношения находим $\Omega(\delta)$ и определяем устойчивость ветвей. Дисперсионные ветви устойчивости показаны на рис. 2. Для нерелятивистского диода ($\gamma_0 = 1$) зависимости $\Gamma(\delta)$ совпадают с построенными в работе [6]. Из рис. 2 видно, что ветви *popul*, как и в нерелятивистском случае, являются аperiodически устойчивыми, а ветви *overlap* – неустойчивыми относительно малых возмущений.

Итак, в настоящей работе разработан аналитический метод вычисления концентрации релятивистских заряженных частиц, вылетающих с эмиттера с известной ФРС и движущихся в нестационарном электрическом поле без столкновений. С использованием полученного выражения для концентрации частиц предложен метод исследования устойчивости решений для диода с релятивистскими частицами для случая их движения без отражения от потенциальных барьеров. Получены аналитические выражения для функций G и Q в случае малого возмущения электрического поля. В качестве примера исследована устойчивость стационарных состояний диода Бурсиана с релятивистскими электронами [5]. Разработанный метод может быть использован для изучения устойчивости диодов с релятивистскими потоками заряженных частиц.

Конфликт интересов

Авторы заявляют, что у них нет конфликта интересов.

Список литературы

- [1] H. Chen, F. Fiuza, Phys. Plasmas, **30**, 020601 (2023). DOI: 10.1063/5.0134819.
- [2] K. Qu, S. Meuren, N.J. Fisch, Phys. Plasmas, **29** (4), 042117 (2022). DOI: 10.1063/5.0078969
- [3] В.С. Бескин, УФН, **188** (4), 377 (2018). DOI: 10.3367/UFNR.2017.10.038216 [V.S. Beskin, Phys. Usp., **61** (4), 353 (2018). DOI: 10.3367/UFNe.2017.10.038216].
- [4] В.И. Кузнецов, А.Я. Эндер, Физика плазмы, **41** (3), 262 (2015). [V.I. Kuznetsov, A.Ya. Ender, Plasma Phys. Rep., **41** (3), 240 (2015). DOI: 10.1134/S1063780X15020063].
- [5] A.Ya. Ender, V.I. Kuznetsov, H. Schamel, Phys. Plasmas, **18** (3), 033502 (2011). DOI: 10.1063/1.3562115
- [6] В.И. Кузнецов, А.Я. Эндер, Физика плазмы, **41** (11), 976 (2015). [V.I. Kuznetsov, A.Ya. Ender, Plasma Phys. Rep., **41** (11), 905 (2015). DOI: 10.1134/S1063780X15110069].